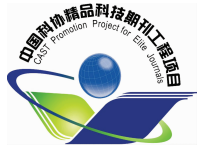


中国科学院科学出版基金资助项目

# 岩石学报

## Yanshi Xuebao



### 2025 年 4 月 第 41 卷 第 4 期

## 目 次

西藏康马锂辉石伟晶岩的发现与特提斯喜马拉雅锂资源前景  
 …… 次仁顿珠 刘小驰 毛国正 刘成林 吴魏 赵向英 邢璐遥 胡方泐 赵俊兴 李俊瑜 多吉 吴福元 (1121)

嫦娥五号角砾岩岩屑中矿物及玻璃的地球化学特征 …… 王莎莎 李林曦 惠鹤九 万博 (1135)

白云鄂博矿床云母地球化学特征及原位 Rb-Sr 定年:对稀土-铈成矿作用的指示  
 …… 姚璐航 李扬 张文 杨澜 余艳 杨波 李献华 (1149)

内蒙古白云鄂博矿床铈分布规律、赋存状态和富集机制  
 …… 诸泽颖 柯昌辉 赵永岗 王登红 张丽 李以科 赵剑 于洪 (1170)

南岭东西段中生代基性岩浆差异及其对“东钨西锡”的制约  
 …… 闫金禹 马星华 郭春丽 周睿 王宏晖 许箭琪 赵迁迁 张斌武 (1194)

赣南河源锂矿床伟晶岩岩石成因及其锂超常富集机制:来自锆石、磷灰石 U-Pb 定年和全岩地球化学的约束  
 …… 冯莲花 田世洪 李海立 孙建东 龚迎莉 杨世文 黄昌祺 刘文斌 (1217)

华北板块北缘中段白马石沟岩体岩石成因及其地质意义  
 …… 邹宇轩 聂逢君 夏菲 严兆彬 何剑锋 杨东光 张鑫 李晓剑 (1252)

中祁连西段晚奥陶世-中志留世镁铁质岩脉的成因与构造启示  
 …… 贾开军 王超 孙晓奎 喻遵谱 李雪 马得青 刘良 (1279)

西伯利亚克拉通 Udachnaya 金伯利岩筒麻粒岩捕虏体的变质 *P-T* 轨迹与构造意义  
 …… 武可馨 仝来喜 IONOV Dmitri Alepa 刘兆 李超 韩新月 (1297)

东南极拉斯曼丘陵中山片麻岩锆石 U-Pb 年龄、地球化学及其构造意义 …… 李森 刘晓春 陈龙耀 (1318)

北山地区洗肠井蛇绿岩带两侧变质沉积岩的岩石学、碎屑锆石 U-Pb 年龄特征及其构造意义  
 …… 田健 张永 辛后田 张国震 滕学建 (1338)

便携式 X 射线荧光分析仪在稀有金属伟晶岩含矿性评价中的应用——以青海茶卡北山锂铍矿床为例  
 …… 王新 梁婷 李积清 余福承 李善平 韩杰 谭细娟 凤永刚 (1352)

西秦岭洛坝外围铅锌矿中金、锑的成矿作用:来自硫化物原位微区和 C-O-S 同位素的证据  
 …… 牛永杰 戴霜 郭东宝 李海亮 曹向飞 移亚龙 马志涛 马延忠 (1367)

西秦岭李坝金矿载金硫化物特征和成因 …… 陈昱 王玉往 罗建祥 李德东 王建平 龙灵利 张会琼 耿健 (1387)

华北克拉通南缘槐树坪金矿床成矿机制:来自黄铁矿原位微区分析的制约  
 …… 程南南 马毓民 侯泉林 石梦岩 潘结南 亢怡萱 李剑斌 (1406)

华南和喜马拉雅高分异花岗岩地球化学特征对比分析 …… 张睿泽 左仁广 (1424)

基于语义分割的长白山火山岩性遥感数据集  
 …… 李成范 韩晶鑫 盘晓东 刘岚 颜丽丽 康建红 刘学锋 肖舟怡 (1442)

山东昌乐地区王家大山玄武岩流变性质研究 …… 王晓宁 姜哲轩 郑小东 张洪通 李建峰 吴东伟 宋茂双 (1454)

本期特约主编: 秦克章 赵俊兴

封面设计: 刘 滢 封面标本: 白云鄂博矿富稀土矿石(右上)及发现新矿物鄂博铈矿和福元铈矿样品(左下)

封面标本摄影: 黄永树 封面标本提供: 范宏瑞 余海东

### CONTENTS

Discovery of spodumene pegmatites in the Kangmar, Xizang and the lithium resource prospects in the Tethyan Himalaya CiRen DZ, Liu XC, Mao GZ, Liu CL, Wu W, Zhao XY, Xing LY, Hu FY, Zhao JX, Li JY, Dor J and Wu FY ...	(1121)
Geochemical characteristics of minerals and glass in Chang'e-5 breccia fragments Wang SS, Li LX, Hui HJ and Wan B .....	(1135)
Geochemical characteristics and in-situ Rb-Sr dating of mica in the Bayan Obo deposit: Implications for the controls on REE-Nb ore formation Yao LH, Li Y, Zhang W, Yang L, Yu Y, Yang B and Li XH .....	(1149)
Spatial distribution, occurrence and enrichment of Nb in the giant Bayan Obo deposit, Inner Mongolia, China Zhu ZY, Ke CH, Zhao YG, Wang DH, Zhang L, Li YK, Zhao J and Yu H .....	(1170)
Differences of Mesozoic basic magmas between eastern and western sections of the Nanling region and their constraint on the decoupling of W and Sn mineralization Yan JY, Ma XH, Guo CL, Zhou R, Wang HH, Xu JQ, Zhao QQ and Zhang BW .....	(1194)
Petrogenesis of pegmatite and supernormal enrichment mechanism of lithium in Heyuan lithium deposit, southern Jiangxi Province: Constraints from zircon and apatite U-Pb dating and whole-rock geochemistry Feng LH, Tian SH, Li HL, Sun JD, Gong YL, Yang SW, Huang CQ and Liu WB .....	(1217)
Petrogenesis of the Baimashigou pluton in the middle segment of northern margin of the North China Block and its geological implications Zou YX, Nie FJ, Xia F, Yan ZB, He JF, Yang DG, Zhang X and Li XJ .....	(1252)
Petrogenesis and tectonic implications of Late Ordovician-Middle Silurian mafic dykes in the western Central Qilian Belt, NW China Jia KJ, Wang C, Sun XK, Yu ZP, Li X, Ma DQ and Liu L .....	(1279)
Metamorphic <i>P-T</i> path of the granulite xenoliths from the Udachnaya kimberlite pipe, Siberian Craton, and tectonic implications Wu KX, Tong LX, Ionov DA, Liu Z, Li C and Han XY .....	(1297)
Zircon U-Pb ages, geochemistry and tectonic implications of Zhongshan gneiss from the Larsemann Hills, East Antarctica Li M, Liu XC and Chen LY .....	(1318)
Petrology, clastic zircon U-Pb age characteristics and tectonic significance of metamorphic sedimentary rocks on both sides of the Xichangjing ophiolitic belt in Beishan area Tian J, Zhang Y, Xin HT, Zhang GZ and Teng XJ .....	(1338)
Application of portable X-ray fluorescence analyzer in mineral evaluation of rare metal pegmatite: A case study of Chakabeishan lithium beryllium deposit in Qinghai Province Wang X, Liang T, Li JQ, Yu FC, Li SP, Han J, Tan XJ and Feng YG .....	(1352)
Mineralization of gold and antimony in Pb-Zn deposit periphery of Luoba, West Qinling, China: Evidence from <i>in situ</i> trace elements and C-O-S isotopes Niu YJ, Dai S, Guo DB, Li HL, Cao XF, Yi YL, Ma ZT and Ma YZ .....	(1367)
Characteristics and genesis of gold-bearing sulfide in the Liba gold deposit, West Qinling Chen Y, Wang YW, Luo JX, Li DD, Wang JP, Long LL, Zhang HQ and Geng J .....	(1387)
The mineralization mechanism of the Huaishuping gold deposit in the southern margin of North China Craton: Constraints from in-situ micro-analysis of pyrite Cheng NN, Ma YM, Hou QL, Shi MY, Pan JN, Kang YX and Li JB .....	(1406)
Comparison of the geochemical characteristics of highly fractionated granites in South China and the Himalaya Zhang RZ and Zuo RG .....	(1424)
Lithology dataset of remote sensing image in Changbaishan volcano based on semantic segmentation Li CF, Han JX, Pan XD, Liu L, Yan LL, Kang JH, Liu XF and Xiao ZY .....	(1442)
High temperature deformation of natural basalt samples from Wangjiadashan, Shandong Province Wang XN, Jiang ZX, Zheng XD, Zhang HT, Li JF, Wu DW and Song MS .....	(1454)